

# Algorithmen für Routenplanung

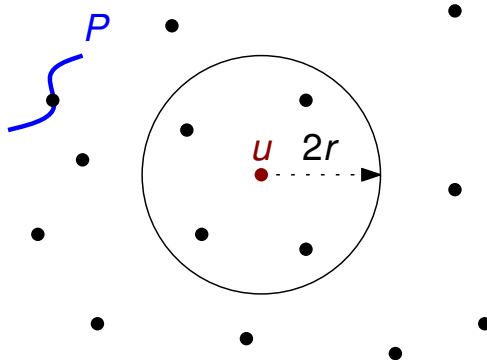
10. Sitzung, Sommersemester 2010

Thomas Pajor | 14. Juni 2010

INSTITUT FÜR THEORETISCHE INFORMATIK · ALGORITHMIK I · PROF. DR. DOROTHEA WAGNER



## Highway-Dimension und Shortest-Path Cover

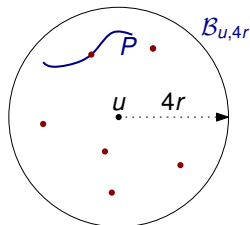


## Idee:

Lokal überdeckt eine kleine Menge Knoten alle hinreichend langen kürzesten Wege.

## Gegeben:

Ungerichteter Graph  $G = (V, E, \text{len})$ .



## Definition

Die *Highway-Dimension* von  $G$  ist die kleinste Zahl  $h \in \mathbb{N}$ , so dass

- Für alle  $r \in \mathbb{R}^+$  und
- für alle Knoten  $u \in V$
- existiert eine Menge  $S \subseteq B_{u, 4r}$  mit  $|S| \leq h$  so, dass

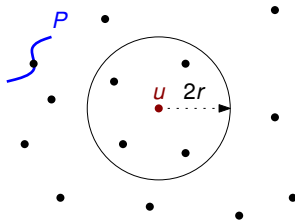
$$|P(v, w)| > r \text{ und } P(v, w) \subseteq B_{u, 4r} \Rightarrow P(v, w) \cap S \neq \emptyset$$

## Idee:

Alle kürzesten Wege einer gewissen Länge können mit einer kleinen Menge von Knoten überdeckt werden.

## Gegeben:

Ungerichteter Graph  $G = (V, E, \text{len})$ .



## Definition

Eine Menge  $C$  heißt  $(r, k)$ -SPC von  $G$  genau dann wenn

- Für alle kürzesten Wege  $P$  mit  $r < |P| \leq 2r$  gilt dass
- $P \cap C \neq \emptyset$  und
- für alle  $u \in V$ :  $|C \cap \mathcal{B}_{u,2r}| \leq k$

## Theorem

Wenn  $G$  Highway-Dimension  $h$  hat, dann  $\forall r \exists$  ein  $(r, h)$ -SPC.

- Kleine Highway-Dimension führt zu kleinen SPCs
- Für **alle**  $r$ !

**Vermutung:** Straßennetzwerke haben kleine (konstante)  
Highway-Dimension

# Generischer Prepro.-Algorithmus

**Idee:** Partitioniere  $V$  zu einer Hierarchie  $L_0, L_1, \dots, L_{\log D}$

## Vorgehen

- Sei  $S_0 := V$
- Sei  $S_i$  ein  $(2^i, k)$ -SPC für  $i = 1 \dots \log D$  wobei
  - $k = h$  für unbeschränktes Preprocessing
  - $k = h \log n$  für polynomialzeit Preprocessing (Approx.)
- Dann ist

$$L_i := S_i \setminus \bigcup_{j=i+1}^{\log D} S_j$$

- Kontrahiere Knoten in der Reihenfolge induziert durch  $L_i$ .

## Ausgabe:

- Menge  $E^+$  von eingefügten Shortcuts
- Hierarchie  $L_0, L_1, \dots, L_{\log D}$

# Generischer Prepro.-Algorithmus

**Idee:** Partitioniere  $V$  zu einer Hierarchie  $L_0, L_1, \dots, L_{\log D}$

## Vorgehen

- Sei  $S_0 := V$
- Sei  $S_i$  ein  $(2^i, k)$ -SPC für  $i = 1 \dots \log D$  wobei
  - $k = h$  für unbeschränktes Preprocessing
  - $k = h \log n$  für polynomialzeit Preprocessing (Approx.)
- Dann ist

$$L_i := S_i \setminus \bigcup_{j=i+1}^{\log D} S_j$$

- Kontrahiere Knoten in der Reihenfolge induziert durch  $L_i$ .

## Ausgabe:

- Menge  $E^+$  von eingefügten Shortcuts
- Hierarchie  $L_0, L_1, \dots, L_{\log D}$

# Generischer Prepro.-Algorithmus

**Idee:** Partitioniere  $V$  zu einer Hierarchie  $L_0, L_1, \dots, L_{\log D}$

## Vorgehen

- Sei  $S_0 := V$
- Sei  $S_i$  ein  $(2^i, k)$ -SPC für  $i = 1 \dots \log D$  wobei
  - $k = h$  für unbeschränktes Preprocessing
  - $k = h \log n$  für polynomialzeit Preprocessing (Approx.)
- Dann ist

$$L_i := S_i \setminus \bigcup_{j=i+1}^{\log D} S_j$$

- Kontrahiere Knoten in der Reihenfolge induziert durch  $L_i$ .

## Ausgabe:

- Menge  $E^+$  von eingefügten Shortcuts
- Hierarchie  $L_0, L_1, \dots, L_{\log D}$

## Theorem

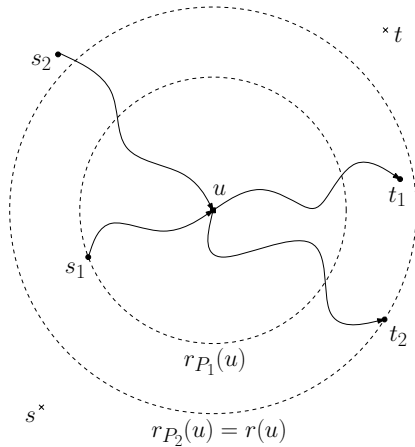
*Für jeden Graphen  $G$  mit Highway Dimension  $h$  gibt es eine Knotenordnung, durch die das CH-Preprocessing eine Menge von Shortcuts  $E^+$  so erzeugt, dass gilt*

- *Der Grad jedes Knotens in  $G^+ = (V, E \cup E^+)$  ist höchstens  $\Delta + h \log D$*
- *$|E^+| \in O(nh \log D)$*

Für Polynomialzeit-Preprocessing:

- Maximalgrad in  $G^+$  ist in  $O(\Delta + h \log n \log D)$
- $|E^+| \in O(nh \log n \log D)$

# 1. Reach



## Ursprüngliche Berechnung von Reach:

- wähle  $\epsilon$  frei
- iterativ, solange  $E \neq \emptyset$ 
  - berechne obere Schranken mit part. KW-Bäumen der Höhe  $\approx 2\epsilon$
  - entferne alle Kanten mit  $\text{Reach} < \epsilon$  aus Graphen
  - setze  $\epsilon = k \cdot \epsilon$
- wandle Kanten-Reach in Knoten-Reach um

Modifizierte Vorberechnung durch folgendes Lemma

### Lemma

Für alle  $v \in L_i$  gilt:

$$r(v) \leq 2 \cdot 2^i \text{ in } G^+ = (V, E \cup E^+)$$

## Ursprüngliche Berechnung von Reach:

- wähle  $\epsilon$  frei
- iterativ, solange  $E \neq \emptyset$ 
  - berechne obere Schranken mit part. KW-Bäumen der Höhe  $\approx 2\epsilon$
  - entferne alle Kanten mit  $\text{Reach} < \epsilon$  aus Graphen
  - setze  $\epsilon = k \cdot \epsilon$
- wandle Kanten-Reach in Knoten-Reach um

Modifizierte Vorberechnung durch folgendes Lemma

## Lemma

Für alle  $v \in L_j$  gilt:

$$r(v) \leq 2 \cdot 2^j \text{ in } G^+ = (V, E \cup E^+)$$

## Lemma

Für alle  $v \in L_i$  gilt:

$$r(v) \leq 2 \cdot 2^i \text{ in } G^+ = (V, E \cup E^+)$$

### Beweis:

Ann.: Es gibt  $v \in L_i$  mit  $r(v) > 2 \cdot 2^i$ .

⇒  $\exists$  kürzester Weg  $P(x, v, y)$  mit  $v \in P(x, v, y)$  sowie  
 $|P(x, v)| > 2 \cdot 2^i$  und  $|P(v, y)| > 2 \cdot 2^i$ .

⇒ Sowohl  $P(x, v)$  als auch  $P(v, y)$  enthalten Knoten aus  $L_j$  mit  $j > i$ .

⇒ Es gibt einen Shortcut zwischen  $P(x, v)$  und  $P(v, y)$ .

⇒  $P(x, v, y)$  ist kein kürzester Weg.  $\zeta$

## Lemma

Für alle  $v \in L_i$  gilt:

$$r(v) \leq 2 \cdot 2^i \text{ in } G^+ = (V, E \cup E^+)$$

### Beweis:

Ann.: Es gibt  $v \in L_i$  mit  $r(v) > 2 \cdot 2^i$ .

$\Rightarrow \exists$  kürzester Weg  $P(x, v, y)$  mit  $v \in P(x, v, y)$  sowie  
 $|P(x, v)| > 2 \cdot 2^i$  und  $|P(v, y)| > 2 \cdot 2^i$ .

$\Rightarrow$  Sowohl  $P(x, v)$  als auch  $P(v, y)$  enthalten Knoten aus  $L_j$  mit  $j > i$ .

$\Rightarrow$  Es gibt einen Shortcut zwischen  $P(x, v)$  und  $P(v, y)$ .

$\Rightarrow P(x, v, y)$  ist kein kürzester Weg.  $\downarrow$

# Theorem

Die Query-Zeit von RE ist in

- $O((\Delta + h \log D)(h \log D))$  für unbeschränktes Preprocessing
- $O((\Delta + h \log n \log D)(h \log n \log D))$  für pol. Preprocessing

**Beweis:** Zusammensetzung der Schranke:

$$\underbrace{(\Delta + k \log D)}_{\text{max. Knotengrad in } G^+} \cdot \underbrace{(k \log D)}_{\text{max. Suchraum}}$$

Betrachte die Vorwärtssuche von  $s$  (Rückwärtssuche analog)

- Betrachte die Kugel  $\mathcal{B}_{s, 2 \cdot 2^i}$  um  $s$ .
  - Die Suche arbeitet wegen  $r(v) \leq 2 \cdot 2^i$  keine Knoten  $v \in L_i$  mit  $v \notin \mathcal{B}_{s, 2 \cdot 2^i}$  ab.
  - $L_i$  ist ein  $(2^i, k)$ -SPC, also  $|L_i \cap \mathcal{B}_{s, 2 \cdot 2^i}| \leq k$
- ⇒ Höchstens  $k$  Knoten werden pro Level abgearbeitet

# Theorem

Die Query-Zeit von RE ist in

- $O((\Delta + h \log D)(h \log D))$  für unbeschränktes Preprocessing
- $O((\Delta + h \log n \log D)(h \log n \log D))$  für pol. Preprocessing

**Beweis:** Zusammensetzung der Schranke:

$$\underbrace{(\Delta + k \log D)}_{\text{max. Knotengrad in } G^+} \cdot \underbrace{(k \log D)}_{\text{max. Suchraum}}$$

Betrachte die Vorwärtssuche von  $s$  (Rückwärtssuche analog)

- Betrachte die Kugel  $\mathcal{B}_{s, 2 \cdot 2^i}$  um  $s$ .
  - Die Suche arbeitet wegen  $r(v) \leq 2 \cdot 2^i$  keine Knoten  $v \in L_i$  mit  $v \notin \mathcal{B}_{s, 2 \cdot 2^i}$  ab.
  - $L_i$  ist ein  $(2^i, k)$ -SPC, also  $|L_i \cap \mathcal{B}_{s, 2 \cdot 2^i}| \leq k$
- ⇒ Höchstens  $k$  Knoten werden pro Level abgearbeitet

## Theorem

Die Query-Zeit von RE ist in

- $O((\Delta + h \log D)(h \log D))$  für unbeschränktes Preprocessing
- $O((\Delta + h \log n \log D)(h \log n \log D))$  für pol. Preprocessing

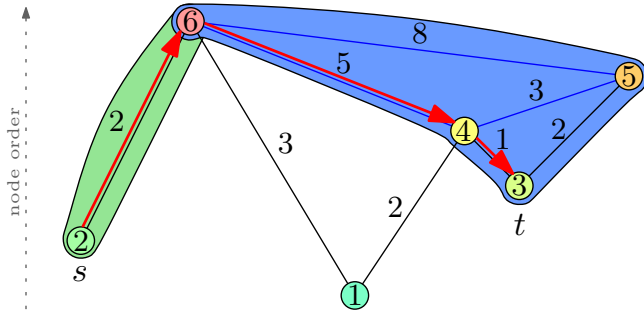
**Beweis:** Zusammensetzung der Schranke:

$$\underbrace{(\Delta + k \log D)}_{\text{max. Knotengrad in } G^+} \cdot \underbrace{(k \log D)}_{\text{max. Suchraum}}$$

Betrachte die Vorwärtssuche von  $s$  (Rückwärtssuche analog)

- Betrachte die Kugel  $\mathcal{B}_{s, 2 \cdot 2^i}$  um  $s$ .
  - Die Suche arbeitet wegen  $r(v) \leq 2 \cdot 2^i$  keine Knoten  $v \in L_i$  mit  $v \notin \mathcal{B}_{s, 2 \cdot 2^i}$  ab.
  - $L_i$  ist ein  $(2^i, k)$ -SPC, also  $|L_i \cap \mathcal{B}_{s, 2 \cdot 2^i}| \leq k$
- ⇒ Höchstens  $k$  Knoten werden pro Level abgearbeitet

## 2. Contraction Hierarchies



Betrachte vereinfachte Query:

- Führe volle bidirektionale Suche durch
- Benutze *kein* Stoppkriterium
  - ⇒ Der gesamte erreichbare Graph wird abgearbeitet!
- Relaxiere nur Kanten zu wichtigeren Knoten (wie gehabt)

Variante funktioniert in der Praxis bereits sehr gut

## Problem:

Reach-Schranken gelten nicht für CH-Query.

- Betrachte Knoten  $v \in L_i$  und KW  $P(s, v)$  mit  $|P(s, v)| > 2 \cdot 2^i$ .
- ⇒  $\exists u \in L_j$  mit  $j > i$  auf  $P(s, v)$ .
- ⇒  $\text{rank}(u) > \text{rank}(v)$
- ⇒ Teilweg  $P(u, v)$  wird nicht betrachtet.

## ABER (bei CH):

Nicht jeder Weg im "KW"-Baum ist KW!

- ⇒ Alternativer Weg  $P'(s, v)$  könnte gefunden werden.
- ⇒ Mehr als  $k$  Knoten pro Level können abgearbeitet werden.

## Problem:

Reach-Schranken gelten nicht für CH-Query.

- Betrachte Knoten  $v \in L_i$  und KW  $P(s, v)$  mit  $|P(s, v)| > 2 \cdot 2^i$ .
- ⇒  $\exists u \in L_j$  mit  $j > i$  auf  $P(s, v)$ .
- ⇒  $\text{rank}(u) > \text{rank}(v)$
- ⇒ Teilweg  $P(u, v)$  wird nicht betrachtet.

## ABER (bei CH):

Nicht jeder Weg im "KW"-Baum ist KW!

- ⇒ Alternativer Weg  $P'(s, v)$  könnte gefunden werden.
- ⇒ Mehr als  $k$  Knoten pro Level können abgearbeitet werden.

## Problem:

Reach-Schranken gelten nicht für CH-Query.

- Betrachte Knoten  $v \in L_i$  und KW  $P(s, v)$  mit  $|P(s, v)| > 2 \cdot 2^i$ .
- ⇒  $\exists u \in L_j$  mit  $j > i$  auf  $P(s, v)$ .
- ⇒  $\text{rank}(u) > \text{rank}(v)$
- ⇒ Teilweg  $P(u, v)$  wird nicht betrachtet.

## **ABER (bei CH):**

Nicht jeder Weg im "KW"-Baum ist KW!

- ⇒ Alternativer Weg  $P'(s, v)$  könnte gefunden werden.
- ⇒ Mehr als  $k$  Knoten pro Level können abgearbeitet werden.

## Lösungsansätze:

1. Benutze zusätzlich Reach-Pruning
2. Füge zusätzliche Shortcuts beim Preprocessing ein

## Hier letzteres:

- Bei Knotenreduktion von  $v \in L_i$ :  
Erzeuge zusätzliche Shortcuts  $(u, w)$  für jedes Paar  $u, w \in \mathcal{B}_{v, 2 \cdot 2^i}$  für das  $v \in P(u, w)$ .
- Gib für jeden Knoten  $v$  lediglich sein Level  $L_i$  (also  $i$ ) aus.

## Lösungsansätze:

1. Benutze zusätzlich Reach-Pruning
2. Füge zusätzliche Shortcuts beim Preprocessing ein

## Hier letzteres:

- Bei Knotenreduktion von  $v \in L_i$ :  
Erzeuge zusätzliche Shortcuts  $(u, w)$  für jedes Paar  $u, w \in \mathcal{B}_{v, 2 \cdot 2^i}$  für das  $v \in P(u, w)$ .
- Gib für jeden Knoten  $v$  lediglich sein Level  $L_i$  (also  $i$ ) aus.

## Beobachtungen:

- Platz-Schranken gelten weiterhin
- Für jeden kürzesten  $s$ - $t$ -Weg:  
Es gibt weiterhin Weg in  $G^+$ , so dass zwei aufeinanderfolgende Knoten stets verschiedene Levels haben
- Ausnahme: oberstes Level kann genau zwei Nachbarn haben  
↔ Sonderbehandlung

## Theorem

*Die Query-Zeit von CH ist in*

- $O((\Delta + h \log D)(h \log D))$  für unbeschränktes Preprocessing
- $O((\Delta + h \log n \log D)(h \log n \log D))$  für pol. Preprocessing

## Beobachtungen:

- Platz-Schranken gelten weiterhin
- Für jeden kürzesten  $s$ - $t$ -Weg:  
Es gibt weiterhin Weg in  $G^+$ , so dass zwei aufeinanderfolgende Knoten stets verschiedene Levels haben
- Ausnahme: oberstes Level kann genau zwei Nachbarn haben  
↔ Sonderbehandlung

## Theorem

*Die Query-Zeit von CH ist in*

- $O((\Delta + h \log D)(h \log D))$  für unbeschränktes Preprocessing
- $O((\Delta + h \log n \log D)(h \log n \log D))$  für pol. Preprocessing

Mit ähnlichen Analysen erhält man...

## Theorem

Die Query-Zeit von TNR ist in

- $O(\Delta + h \log D)$  für unbeschränktes Preprocessing
- $O(\Delta + h \log n \log D)$  für pol. Preprocessing

## Theorem

SHARC (mit Modifikationen) hat polynomialzeit Preprocessing mit Platzverbrauch in

$$O(nh \log n \log D)$$

so dass für die Query-Zeit gilt

$$O((h \log n \log D)^2).$$

Mit ähnlichen Analysen erhält man...

## Theorem

Die Query-Zeit von TNR ist in

- $O(\Delta + h \log D)$  für unbeschränktes Preprocessing
- $O(\Delta + h \log n \log D)$  für pol. Preprocessing

## Theorem

SHARC (mit Modifikationen) hat polynomialzeit Preprocessing mit Platzverbrauch in

$$O(nh \log n \log D)$$

so dass für die Query-Zeit gilt

$$O((h \log n \log D)^2).$$

## Theoretische Garantien für Beschleunigungstechniken

- Highway-Dimension formalisiert Intuition hinter Transit-Node Routing
- Kleine Highway-Dimension führt zu kleinen Shortest-Path-Covern
- Vermutung: Straßennetzwerke haben kleine Highway-Dimension
- Generisches Preprocessing basierend auf CH
- Führt zu Laufzeitgarantien für RE, CH, TNR und SHARC in Abhängigkeit von  $h$  statt  $n$

## Offene Probleme

- Wie Highway-Dimension effizient berechnen?
- Analyse für zielgerichtete Techniken (Arc-Flags, ALT)

## Theoretische Garantien für Beschleunigungstechniken

- Highway-Dimension formalisiert Intuition hinter Transit-Node Routing
- Kleine Highway-Dimension führt zu kleinen Shortest-Path-Covern
- Vermutung: Straßennetzwerke haben kleine Highway-Dimension
- Generisches Preprocessing basierend auf CH
- Führt zu Laufzeitgarantien für RE, CH, TNR und SHARC in Abhängigkeit von  $h$  statt  $n$

## Offene Probleme

- Wie Highway-Dimension effizient berechnen?
- Analyse für zielgerichtete Techniken (Arc-Flags, ALT)

# Zeitabhängige Routenplanung

## Szenario:

- Historische Daten für Verkehrssituation verfügbar
- Verkehrssituation vorhersagbar
- Berechne schnellsten Weg bezüglich der erwarteten Verkehrssituation (zu einem gegebenen Startzeitpunkt)



## Beobachtung:

- Kein konzeptioneller Unterschied zu Public Transport
- Somit (eventuell) Techniken übertragbar

## Hauptproblem:

- Kürzester Weg hängt von Abfahrtszeitpunkt ab
- Eingabegröße steigt massiv an

## Vorgehen:

- Modellierung
- Anpassung Dijkstra
- Anpassung der Basismodule für Beschleunigungstechniken

## Heute:

- Modellierung und Dijkstra

## Hauptproblem:

- Kürzester Weg hängt von Abfahrtszeitpunkt ab
- Eingabegröße steigt massiv an

## Vorgehen:

- Modellierung
- Anpassung Dijkstra
- Anpassung der Basismodule für Beschleunigungstechniken

## Heute:

- Modellierung und Dijkstra

## Hauptproblem:

- Kürzester Weg hängt von Abfahrtszeitpunkt ab
- Eingabegröße steigt massiv an

## Vorgehen:

- Modellierung
- Anpassung Dijkstra
- Anpassung der Basismodule für Beschleunigungstechniken

## Heute:

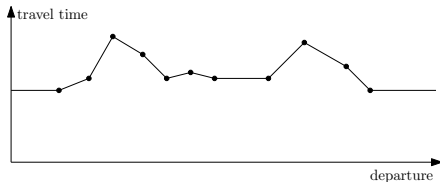
- Modellierung und Dijkstra

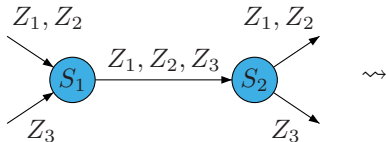
## Eingabe:

- Durchschnittliche Reisezeit zu bestimmten Zeitpunkten
- Jeden Wochentag verschieden
- Sonderfälle: Urlaubszeit

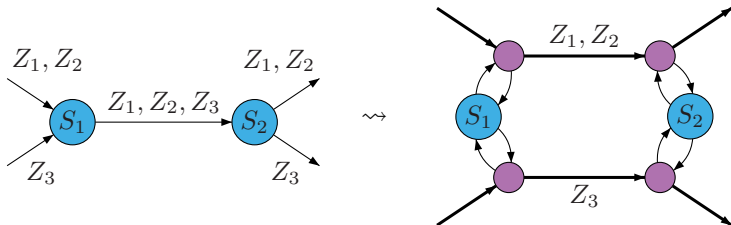
## Somit an jeder Kante:

- Periodische stückweise lineare Funktion
- Definiert durch Stützpunkte
- Interpoliere linear zwischen Stützpunkten



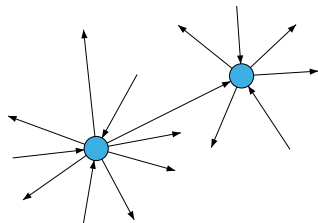


- Teile Züge  $Z_i$  in Routen ein
- Für alle Routen, die eine Station bedienen: Ein extra Knoten
  - Modelliert Umstiege zwischen Zügen
  - Mindesttransferzeit für jede Station: an Stations-Kanten

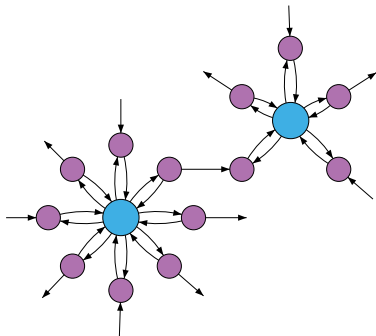


- Teile Züge  $Z_i$  in Routen ein
- Für alle Routen, die eine Station bedienen: Ein extra Knoten
  - Modelliert Umstiege zwischen Zügen
  - Mindesttransferzeit für jede Station: an Stations-Kanten

Nutzung des Eisenbahnansatzes nicht sinnvoll



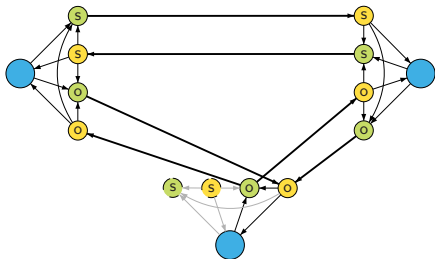
~



Graphen werden zu groß.

## Modellierung:

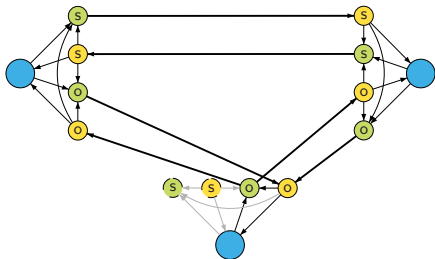
- Check-in,
- Check-out,
- Transfer,
- zwischen Allianzen.



⇒ Zwei Knoten pro Allianz (Abflug und Ankunfts-knoten)

## Modellierung:

- Check-in,
- Check-out,
- Transfer,
- zwischen Allianzen.



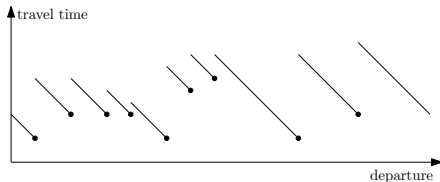
⇒ Zwei Knoten pro Allianz (Abflug und Ankunfts-knoten)

## Eingabe:

- Reisezeit zu bestimmten Zeitpunkten (Fahrzeiten der Züge)
- Jeden Tag verschieden

## Somit:

- Periodische stückweise lineare Funktionen
- Definiert durch Stützpunkte
- Wartezeit zur nächsten Verbindung + Reisezeit



## Definition

Sei  $f : \mathbb{R}_0^+ \rightarrow \mathbb{R}_0^+$  eine Funktion.  $f$  erfüllt die *FIFO-Eigenschaft*, wenn für jedes  $\varepsilon > 0$  und alle  $\tau \in \mathbb{R}_0^+$  gilt, dass

$$f(\tau) \leq \varepsilon + f(\tau + \varepsilon).$$

## Diskussion

- Interpretation: “Warten lohnt sich nie”
  - Kürzeste Wege auf Graphen mit non-FIFO Funktionen zu finden ist NP-schwer.  
(wenn warten an Knoten nicht erlaubt ist)
- ⇒ Sicherstellen, dass Funktionen FIFO-Eigenschaft erfüllen.

## Eigenschaften:

- Topologie ändert sich nicht
- Kanten gemischt zeitabhängig und konstant
- variable (!) Anzahl Interpolationspunkte pro Kante

## Beobachtungen:

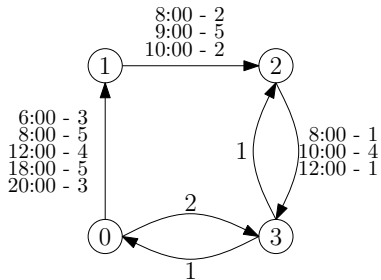
- FIFO gilt auf allen Kanten
- später wichtig

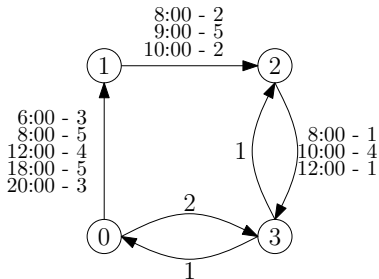
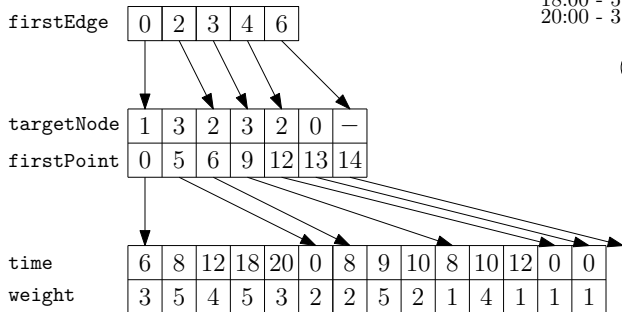
## Eigenschaften:

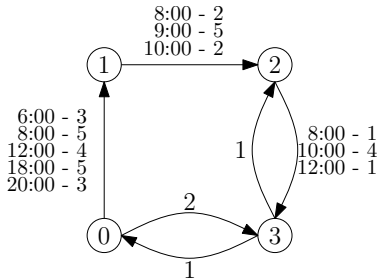
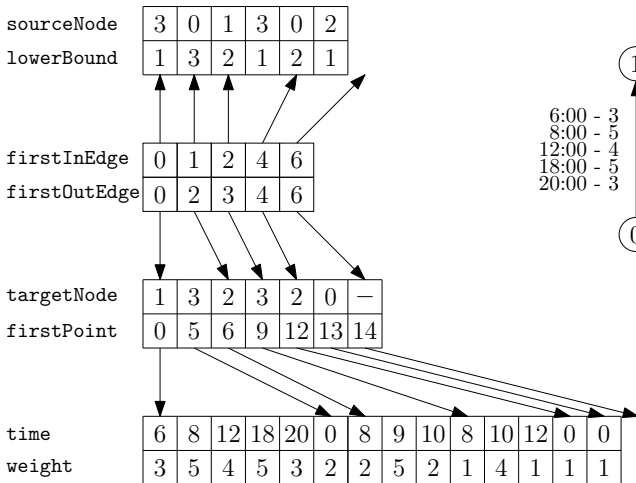
- Topologie ändert sich nicht
- Kanten gemischt zeitabhängig und konstant
- variable (!) Anzahl Interpolationspunkte pro Kante

## Beobachtungen:

- FIFO gilt auf allen Kanten
- später wichtig







## Zeit-Anfrage:

- finde kürzesten Weg für Abfahrtszeit  $\tau$
- analog zu Dijkstra?

## Profil-Anfrage:

- finde kürzesten Weg für alle Abfahrtszeitpunkte
- analog zu Dijkstra?

## Zeit-Anfrage:

- finde kürzesten Weg für Abfahrtszeit  $\tau$
- analog zu Dijkstra?

## Profil-Anfrage:

- finde kürzesten Weg für alle Abfahrtszeitpunkte
- analog zu Dijkstra?

---

Time-Dijkstra( $G = (V, E), s, \tau$ )

---

```
1  $d_\tau[s] = 0$ 
2  $Q.clear(), Q.add(s, 0)$ 
3 while ! $Q.empty()$  do
4    $u \leftarrow Q.deleteMin()$ 
5   for all edges  $e = (u, v) \in E$  do
6     if  $d_\tau[u] + \text{len}(e, \tau + d_\tau[u]) < d_\tau[v]$  then
7        $d_\tau[v] \leftarrow d_\tau[u] + \text{len}(e, \tau + d_\tau[u])$ 
8        $p_\tau[v] \leftarrow u$ 
9       if  $v \in Q$  then  $Q.decreaseKey(v, d_\tau[v])$ 
10      else  $Q.insert(v, d_\tau[v])$ 
```

---

## Beobachtung:

- Nur ein Unterschied zu Dijkstra
- Auswertung der Kanten

## non-FIFO Netzwerke:

- Im Kreis fahren kann sich lohnen
- NP-schwer (wenn warten an Knoten nicht erlaubt ist)
- Transportnetzwerke sind FIFO modellierbar (notfalls Multikanten)

## Beobachtung:

- Nur ein Unterschied zu Dijkstra
- Auswertung der Kanten

## non-FIFO Netzwerke:

- Im Kreis fahren kann sich lohnen
- NP-schwer (wenn warten an Knoten nicht erlaubt ist)
- Transportnetzwerke sind FIFO modellierbar (notfalls Multikanten)

## Literatur (Highway-Dimension):

- Ittai Abraham, Amos Fiat, Andrew Goldberg und Renato Werneck:  
**Highway Dimension, Shortest Paths, and Provably Efficient Algorithms**  
In: *Proc. ACM-SIAM Symposium on Discrete Algorithms (SODA10)*, 2010.

Username: `routePlanning`

Passwort: `ss10`

## Literatur (Zeitabhängige Routenplanung):

- Daniel Delling:  
**Engineering and Augmenting Route Planning Algorithms**  
Ph.D. Thesis, Universität Karlsruhe (TH), 2009.

Username: `routePlanning`

Passwort: `ss10`